



مهندس فائزه قربانی، نویسنده‌ی اول مقاله، دانشگاه تبریز

f.ghorbani.eng20@gmail.com

سنتز و اصلاح نانو لوله‌ی TiO_2 به عنوان الکتروُد ابر خازن

فائزه قربانی*، شاهین خامنه اصل

گروه مهندسی مواد، دانشگاه تبریز

چکیده: نانو لوله‌های TiO_2 به علت خواص منحصر به فردشان از جمله قابلیت تغییر یون، پتانسیل فوتوکاتالیستی، دارابودن سطح وسیع و خواص الکتریکی قابل توجه، اهمیت زیادی کسب کرده‌اند. اما ظرفیت ویژه‌ی آن به علت وجود فازهای ترد پایین است و به علت گاف انرژی وسیع آن، رسانایی ضعیفی دارد. امروزه تلاش‌های زیادی برای اصلاح خواص نانولوله‌های TiO_2 برای کاربرد سوپر خازنی آن صورت می‌گیرد. در این مقاله انواع روش سنتز نانولوله TiO_2 از جمله روش اکسیداسیون آندی شرح داده شد و به روش‌های حرارتی و الکتروشیمیایی برای اصلاح ساختار پرداخته شد. در واقع اصلاح TNT ها توسط روش‌های حرارتی و الکتروشیمیایی و دوپ فلزی و غیر فلزی، موجب بهبود ظرفیت خازنی TNTها به عنوان الکتروُد سوپر خازن‌ها می‌شود. اصلاح TNT به روش الکتروشیمیایی به علت آسانی، سهولت اجرا و هزینه‌ی پایین کاربرد دارد. در دوپ الکتروشیمیایی، Ti^{4+} به Ti^{3+} احیا می‌شود که دوپ احیایی باعث تغییر رنگ فیلم از خاکستری روشن به سیاه می‌شود و هم چنین باعث می‌شود ظرفیت ویژه‌ی نمونه احیا شده نسبت به نمونه‌ی احیا نشده، ۱۸ مرتبه افزایش پیدا کند. در اصلاح به روش الکتروشیمیایی آسیبی به ساختار وارد نمی‌شود. اصلاح به روش حرارتی، به عملیات‌های حرارتی مختلف در مراحل زینتر TNT مربوط می‌شود. بهبود ظرفیت ویژه در طول روش حرارتی، مربوط به مکان‌های والانس است که به صورت جزئی کاهش یافته‌اند و بر روی سطح ایجاد شده‌اند و هم چنین مربوط به عیوب دیگر می‌شود که در حین عملیات حرارتی وجود دارند. این روش اصلاح افزایش چشمگیری در منحنی ولتاژ-جریان می‌شود و گزارش شده که ظرفیت ویژه را تا $911 \mu F cm^{-2}$ افزایش می‌یابد.

کلمات کلیدی: نانولوله‌ی TiO_2 ، ابر خازن، TNT اصلاح شده، ظرفیت خازنی.

۱- مقدمه

آلودگی‌های محیطی به علت رشد فزاینده استفاده از سوخت‌های فسیلی، افزایش یافته است که ما را وادار به استفاده از سوخت‌های تجدیدپذیر همچون انرژی خورشیدی، انرژی باد، انرژی گرمایی و غیره کرده است. ابزار رایج ذخیره سازی انرژی‌های تجدیدپذیر، باتری‌ها و سوپرکازن‌ها هستند. سوپر خازن‌ها به علت چگالی توان بالا (بزرگ تر $10^5 W kg^{-1}$)، عمر چرخه‌ای بالا (بیشتر از ۱۰۰۰۰۰ چرخه) و کارکرد با امنیت بالا، نسبت به باتری ارجحیت پیدا می‌کنند که منحصراً باعث رشد و بهبود ماشین‌های الکتریکی هیبریدی شده است [۱].

عموماً دو نوع مکانیزم: خازن‌های دولایه الکتریکی^۲ و شبه خازن‌ها برای ذخیره سازی شارژ سوپرکازن‌ها وجود دارد که نوع اول بر اساس جذب الکترواستاتیکی از یون‌های الکترولیت در فصل مشترک اکتروُد و الکترولیت است در حالی که نوع دوم بر اساس انتقال شارژ القایی بین یون الکترولیت و مواد فعال می‌باشد [۱ و ۲].

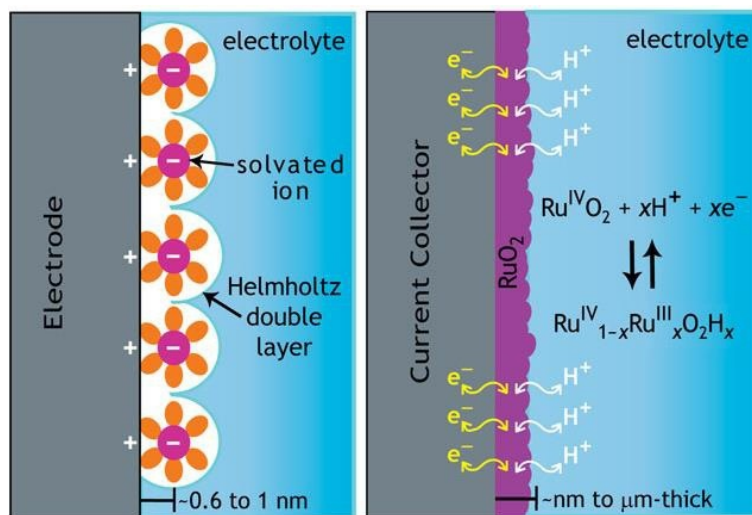
عموماً مواد پایه کربنی از جمله: گرافن، کربن نانو لوله، آنیون‌های نانو کربن و کربن فعال در بهبود خازن‌های دولایه الکتریکی، به کار گرفته می‌شوند. اکسید مواد واسطه، هیدروکسیدها، اکسید فلزات ترکیبی، کامپوزیت مواد کربنی به همراه اکسیدهای فلزی و کامپوزیت‌های رسانا مثل پلی آنیلین، پلی پیرول، رفتار شبه خازنی از خود نشان داده‌اند [۱]. رفتار شبه خازنی عموماً مربوط به واکنش‌های برگشت پذیر و سریع انتقال الکترون است که در نزدیکی سطح اکتروُد با فوتون جفت می‌شوند (شکل ۱) [۳].

¹ TNT: Titania Nano Tube

² EDLCs

TiO₂ به علت ولتاژ کاری بالا، رفتار شبه خازنی خوب و رسانایی الکترونیکی بالا، از بهترین‌ها برای مواد شبه خازنی، محسوب می‌شود. هم چنین زیست سازگاری، سمی نبودن برای محیط و انسان، پایداری شیمیایی بالا و فراوانی زیاد، موجب کاربرد زیاد این ماده به عنوان شبه خازن شده است [۴].

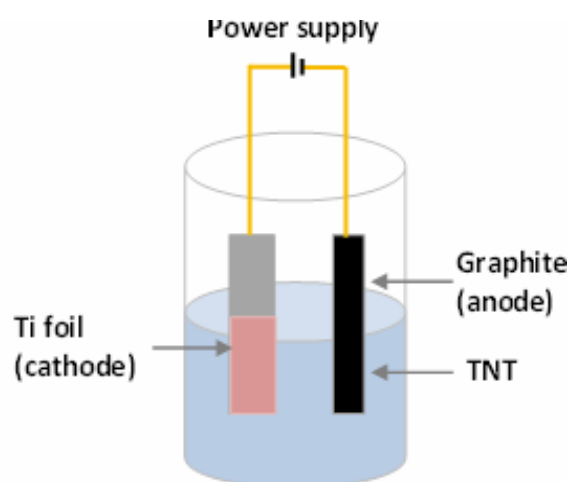
مطالعات زیادی در زمینه‌ی TNT به عنوان الکتروود ابر خازن، صورت گرفته است (ایندوت [۵و۶]، هویی [۷]، سالاری [۸ و ۹]، وو [۱۰] و همکارانشان).



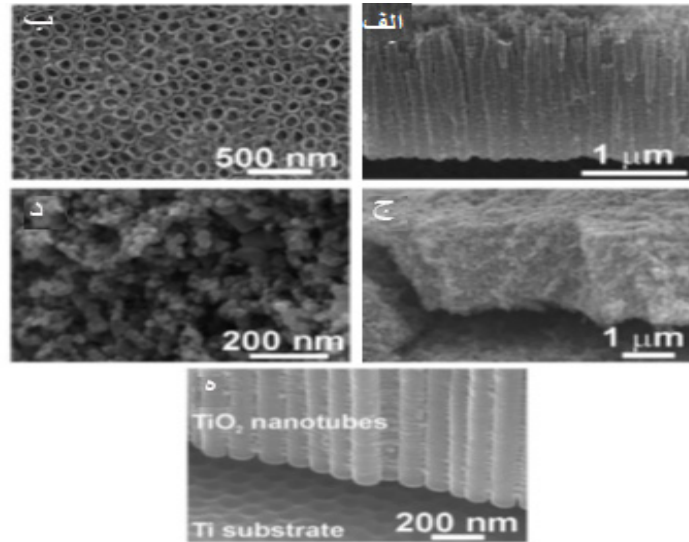
شکل ۱- طرح‌واره‌ای از ذخیره‌ی شارژ توسط (الف) EDLC و (ب) شبه خازنی [۳].

۲- سنتز نانولوله TiO₂ به روش اکسیداسیون آندی

اکسیداسیون آندی فرایندی است که طی آن یک لایه اکسید محافظ در سطح فلز مورد نظر به وجود می‌آید که در شکل ۲، به صورت طرح وار نشان داده شده است. برای انجام فرایند از یک منبع جریان مستقیم استفاده می‌شود و فلز مورد نظر به عنوان آند به قطب مثبت و کاتد مورد استفاده که معمولاً از جنس پلاتین و یا کربن است، به قطب منفی متصل می‌شود. با اعمال ولتاژ اتم‌ها در سطح آند با اکسیژن موجود در الکترولیت لایه اکسید را به وجود می‌آورند و در کاتد نیز گاز هیدروژن آزاد می‌شود [۱۱ و ۱۲]. در شکل ۳ نمونه‌ای از نانولوله‌های سنتز شده توسط اکسیداسیون آندی نشان داده شده است. [۱۳]



شکل ۲- تصویر طرح وار از اکسیداسیون آندی



شکل ۳- تصاویر SEM - از نانولوله‌های TiO_2 با ضخامت ۱,۸ میکرون، (الف) از مقاطع، (ب) از بالا و تصاویر (ج و د) لایه‌های فشرده شده از زیر ساختار در (ج) مقاطع و (د) از بالا و تصویر (ی) جزئیاتی از فصل مشترک نانولوله‌ها و بستر نشان می‌دهد [۱۳]

۳- نانولوله TiO_2 به عنوان ابر خازن

TNT ها به طور گسترده در کاربردهای سلول‌های خورشیدی، کاتالیست‌ها، دستگاه‌های الکتروشیمیایی و هم چنین سوپر خازن‌ها کاربرد دارند. امروزه سوپر خازن‌ها به علت ذخیره سازی انرژی و سیستم‌های تبدیلی، توجه زیادی را به خود جلب کرده‌اند. TNT ها به علت پایداری شیمیایی، سطح وسیع، پیوستگی آن با مواد فعال و شارژ و تخلیه‌ی بدون تنزل و پیوسته، باعث بهبود عملکرد ظرفیتی می‌شود. از دیدگاه مکانیزم شارژ، پیشنهاد می‌شود که TNT ها در ظرفیت غیر القایی، نقش اندکی داشته باشند [۱۴]. عموماً خازن‌های پایه تیتانیا می‌توانند شبیه خازن‌های دولایه الکتریکی متداول عمل کنند که مثل مکانیزم‌های غیر القایی با ظرفیت ویژه‌ی خیلی کم ($10 \mu\text{F cm}^{-2}$ تا 40)، در حین فرآیند شارژ و تخلیه عمل کنند [۱۵]. اما سطح وسیعی که TNT تصرف می‌کند ممکن است منجر به نمونه‌ایی با ظرفیت ویژه بالا شود. عملکرد ظرفیتی مناسبی از TNT توسط سالاری و همکاران [۹] به مقدار $911 \mu\text{F cm}^{-2}$ تا $911 \mu\text{F cm}^{-2}$ 538 در نرخ کاهشی 100 mV s^{-1} تا 1 mV s^{-1} در محلول ۱ مولار KOH گزارش شده است. در مقایسه با پودر تیتانیا، ظرفیت ویژه به دست آمده کمتر از TNT (که برابر $181 \mu\text{F cm}^{-2}$ تا 33) در همان نرخ اسکن می‌باشد و نیز ایندوت و همکاران، تاثیر شرایط تکلیس در عملکرد ظرفیتی الکترواد ابرخازنی TNT را بررسی نمودند. آن‌ها نتیجه‌گیری کردند که زمان تکلیس زیاد، موجب ظرفیت خازنی بالاتر می‌شود. به طوری که که ۵ ساعت تکلیس، ظرفیت خازنی را به $52 \mu\text{F cm}^{-2}$ می‌رساند؛ در حالی که طی ۱ ساعت تکلیس ظرفیت خازنی به $16 \mu\text{F cm}^{-2}$ در نرخ اسکن 5 mV s^{-2} می‌رسد [۵]. ایندوت و همکاران هم چنین تاثیر پارامترهای اندازه‌ی را بر روی عملکرد ظرفیتی الکترواد TNT بررسی نمودند. آن‌ها از طراحی باکس بنکن^۱ برای بررسی بهترین پارامتر جهت دستیابی به ظرفیت خازنی بالا، استفاده کردند. طبق نتایج آن‌ها، اندازه‌ی فویل Ti به مدت $97/87$ دقیقه تحت ولتاژ $39/11 \text{ V}$ و NH_4F 42% ، دارای بیشترین ظرفیت خازنی ویژه به مقدار $145/6 \mu\text{F cm}^{-2}$ بود [۵]. با این وجود مطالعات زیادی برای ارتقا مورفولوژی سطح و هندسه‌ی TNT ها صورت گرفته است [۵ و ۱۶ و ۱۷]. کماکان ظرفیت خازنی TNT ها در مقایسه با سوپر خازن‌های تبدیلی پایه فلزی، اندک است. در واقع اصلاح TNT ها توسط روش‌های حرارتی و الکتروشیمیایی و دوپ فلزی و غیر فلزی، موجب بهبود ظرفیت خازنی TNT ها به عنوان الکترواد سوپر خازن‌ها می‌شود.

۴- اصلاح نانولوله‌ی TiO_2

علاوه‌ی ساختار مورفولوژیکی عالی و سطح، TNT های سنتز شده دارای ظرفیت بسیار اندک هستند. اکثر ظرفیت ویژه‌ی TNT

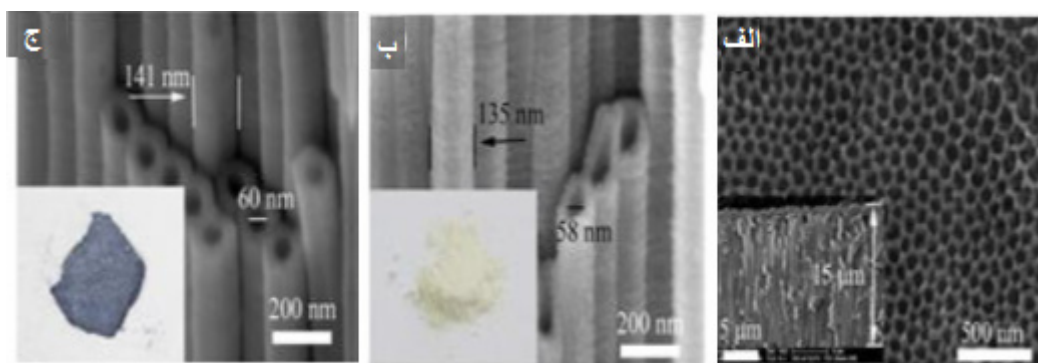
¹ Box-Behnken

کمتر از 1 mF cm^{-2} گزارش شده است که از این جهت فقط به خازن‌های دولایه الکتریکی متداول شباهت دارد [۱۸] که این به رسانایی ضعیف TNT مربوط می‌شود [۱۰]. به همین دلیل، اصلاح سطح TNT به روش‌های الکتروشیمیایی و حرارتی، توسط افزودن مواد فعال مانند اکسید فلزات، نیترات، سولفیدها و یا پلیمرهای رسانا، به منظور بهبود رسانایی و ظرفیت، صورت می‌گیرد.

۴-۱- روش‌های اصلاح الکتروشیمیایی-حرارتی

اصلاح TNT به روش الکتروشیمیایی به علت آسانی، سهولت اجرا و هزینه‌ی پایین به طور گسترده استفاده می‌شود. اصلاح اولیه به این روش توسط ماکاک همکاران در سال ۲۰۰۷ انجام شد. کار آن‌ها دوپ احیایی برای تشکیل لایه‌ای با رسانایی بالا در قسمت تحتانی لایه‌های TNT بود که در دمای محیط و با آماده سازی ساده صورت گرفت. در فرآیند دوپ، Ti^{4+} به Ti^{3+} احیا می‌شود که به عنوان قسمت دهنده عمل کرده و یک لایه مانع رسانا تشکیل می‌دهد. آن‌ها اعلام کردند که تنها $1\% \text{ Ti}^{4+}$ در لایه‌های TNT می‌تواند به Ti^{3+} احیا شود و تاثیر دوپ احیایی در تغییر رنگ فیلم از خاکستری روشن به سیاه دیده می‌شود. مطالعات بعدی توسط ژو و همکاران در سال ۲۰۱۳ صورت گرفت که فرآیند احیای کاتدی برای شناسایی جاهای خالی اکسیژن در TNT بود [۱۸]. علاوه بر جاهای خالی اکسیژن، یک گروه هیدروکسیل بر روی سطح TNT تشکیل می‌شود که منجر به بهبود رفتار الکتروشیمیایی الکتروود اصلاح شده می‌شود. به گزارش آن‌ها ظرفیت ویژه TNT اصلاح شده تا ۱۳ مرتبه بزرگتر از اصلاح نشده‌ی آن است. وو و همکارانش روش دوپ الکتروشیمیایی را گسترش دادند تا عملکرد ظرفیتی الکتروود TNT را بهبود ببخشند. هیدروژن زدایی انجام گرفته توسط آن‌ها، با روش‌های مطالعه شده توسط ماکاک و ژو مطابق بود و تایید کرد که جای خالی اکسیژن متعلق به احیای Ti^{4+} و یون‌های هیدروژن بین نشین می‌باشد. وو و همکاران همچنین اعلام کردند که TNT اصلاح شده، افزایش اندکی در ابعاد لوله نشان می‌دهد اما مورفولوژی لوله را به طور چشمگیری تغییر نمی‌دهد که اثبات می‌کند اصلاح به روش الکتروشیمیایی آسیبی به ساختار وارد نمی‌کند. تغییر رنگ TNT با تغییر رنگ الکتروود از خاکستری روشن (TNT) به سیاه (TNT اصلاح شده) در شکل ۴ آورده شده است.

عملکرد ظرفیتی الکتروود TNT اصلاح شده، نتایج خوبی را نشان می‌دهد به طوری که ظرفیت خازنی به $20/80 \text{ mF cm}^{-2}$ و $9/07 \text{ mF cm}^{-2}$ در $4/00 \text{ mA cm}^{-2}$ و $0/50 \text{ mA cm}^{-2}$ و در ۲ مولار LiSO_4 می‌رسد. وو و همکاران همچنین در مورد سوپر خازن خود تشکیل شده^۱ که بر پایه‌ی الکتروود TNT اصلاح شده بود، اعلام کردند که ظرفیت آن به $5/42 \text{ mF cm}^{-2}$ با چگالی توان $27/66 \text{ mW cm}^{-2}$ در چگالی جریان $0/50 \text{ mA cm}^{-2}$ می‌رسد. این دستگاه خود تشکیل شده قابلیت نرخ ظرفیتی چشمگیری را از خود نشان می‌دهد به طوری که 60% ظرفیت ویژه را زمانی که چگالی جریان از 4 mA cm^{-2} تا $0/05 \text{ mA cm}^{-2}$ افزایش می‌یابد، نگه می‌دارد.

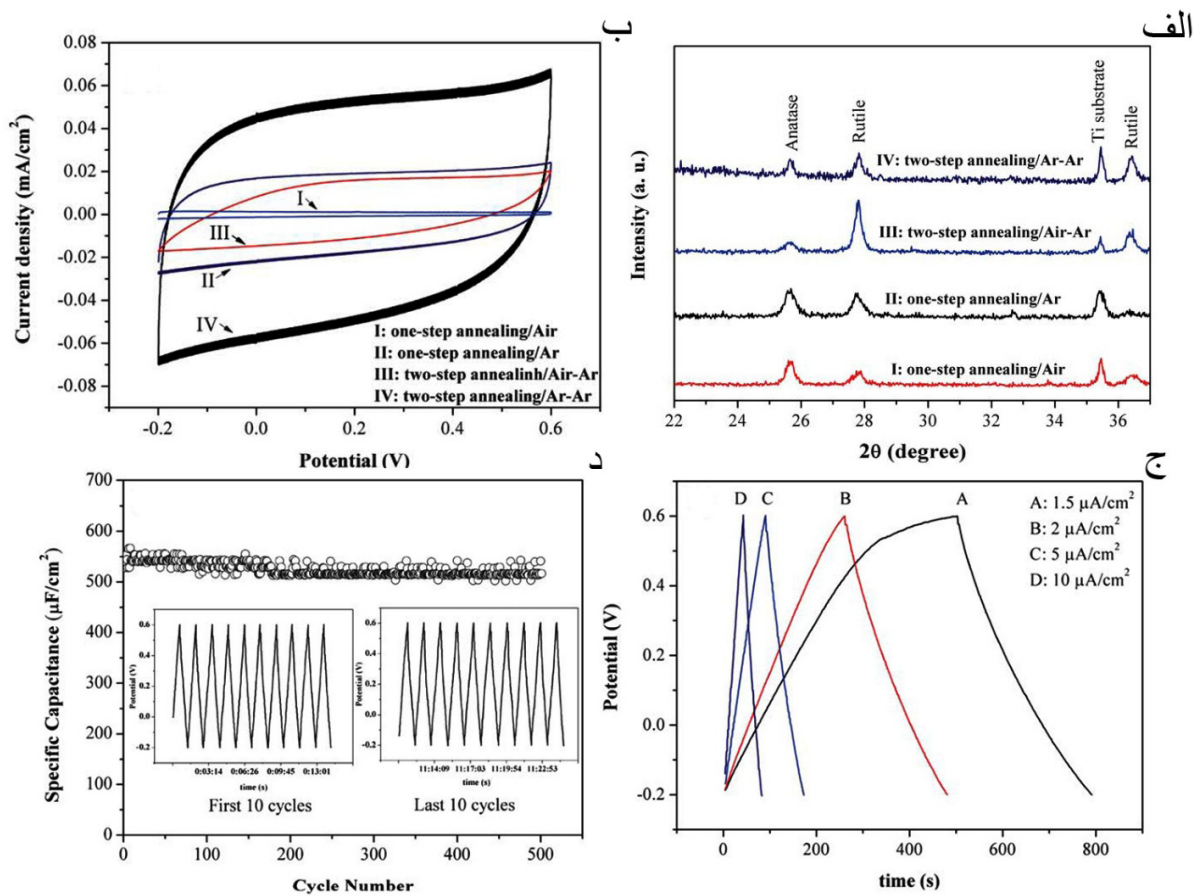


شکل ۴- FESEM (الف) نمای بالای TNT (ب) مقطع عرضی TNT و (ج) مقطع عرضی TNT اصلاح شده. الحاقی‌ها در شکل (الف) طول (ب) رنگ پودر TNT و (ج) رنگ پودر TNT اصلاح شده را نشان می‌دهد [۱۰].

علاوه بر روش الکتروشیمیایی، روش حرارتی نیز به عنوان یکی از روش‌های اصلاح TNT برای بهبود عملکرد الکتروشیمیایی محسوب می‌شود. سالاری و دوستان به احیای Ti^{4+} به Ti^{3+} پرداختند که با تهی سازی ساختار اکسیژن، استحاله آناتاز به روتایل ترغیب شده و منجر به بهبود عملکرد الکتروشیمیایی الکتروود می‌شود. [۱۵]. جاهای خالی اکسیژن ایجاد شده درون ساختار TNT

¹ Self assembled

منجر به بهبود ظرفیت TNT می‌شود. سالاری و همکاران هم چنان گزارش کردند که بهبود ظرفیت ویژه در طول روش حرارتی، مربوط به مکان‌های والانس است که به صورت جزیی کاهش یافته‌اند و بر روی سطح ایجاد شده‌اند و هم چنین به عیوب دیگر می‌شود که در حین عملیات حرارتی وجود دارند، مربوط می‌شود [۱۸]. ولتامتری چرخه‌ای TNT اصلاح شده در شکل ۵ (ب)، منحنی تقریباً مستطیل شکل را نشان می‌دهد که دارای مناطق بین نشین بزرگتری نسبت به TNT اصلاح نشده است. ظرفیت ویژه TNT اصلاح شده $911 \mu\text{F cm}^{-2}$ گزارش شده است در حالی که این عدد برای TNT اصلاح نشده $30 \mu\text{F cm}^{-2}$ در 1 M KCl با نرخ 1 mV s^{-1} گزارش شده است. یک رابطه‌ی خطی بین ولتاژ و زمان شارژ و تخلیه در چگالی جریان بالا در شکل ۵ ج دیده می‌شود که از خازن دو لایه الکترونی القا نشده انتظار می‌رود. اما منحنی اندکی غیر خطی، در چگالی جریان زیاد مشاهده می‌شود که نشانگر واکنش در طول فرآیند شارژینگ می‌باشد. سالاری و دوستان اعلام کردند که این امر ممکن است بخاطر جاهای خالی اکسیژن در حین عملیات حرارتی باشد. TNT اصلاح شده هم چنین پایداری چرخه‌ای مناسبی از خود نشان می‌دهد بطوری که پایداری ظرفیت خوب با 98% نگهداری ظرفیت حتی بعد از 500 چرخه در آن مشاهده می‌شود (شکل ۵د) [۱۵]

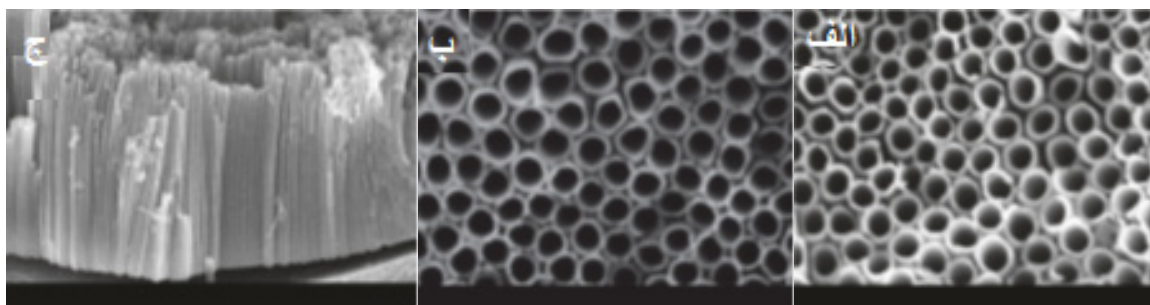


شکل ۵- الگوی XRD (الف) TNT اصلاح شده و TNT اصلاح نشده (ب) ولتامتری چرخه‌ای همه نمونه‌ها در 1 M KCl (ج) طرح گالوانواستاتیک شارژ و تخلیه TNT اصلاح شده در چگالی جریان‌های مختلف و (د) پروفایل پایداری چرخه‌ای TNT اصلاح شده [۱۵]

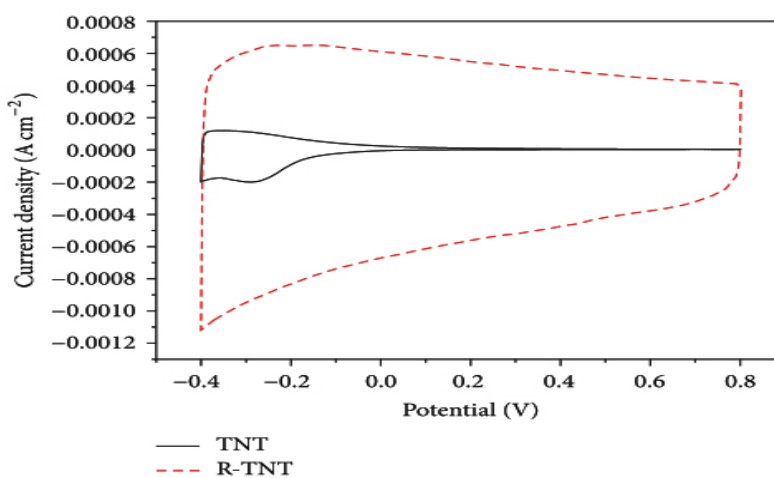
نورول و همکاران [۱۹] هم چنین به اصلاح TiO_2 به روش احیای الکتروشیمیایی پرداختند. آن‌ها ابتدا TNT را در سلول الکتروشیمیایی دو الکترود با غلظت گرافیت بالا به عنوان کاتد و فویل تیتانیومی به عنوان آنود در الکترولیت پایه اتیلن گلیکول، سنتز کردند. در مرحله بعدی TNT آندایز شده به عنوان کاتد و گرافیت غلظت بالا، به عنوان آنود در همان سلول الکتروشیمیایی در الکترولیت حاوی $0/5$ مول Na_2SO_4 میرک، احیا الکتروشیمیایی انجام دادند. در شکل ۶ تصویر FESEM نانولوله‌های احیا شده و نشده را نشان می‌دهد. ساینز هندسی نانولوله‌ها بعد احیا الکتروشیمیایی کاهش یافته اما ساختار نانولوله‌ها کم‌کم بدون تغییر می‌باشد. نانولوله‌ها دارای نظم بالا بوده و به صورت عمودی در یک ردیف قرار گرفته‌اند و منطقه‌ی بزرگی از زیرلایه تیتانیوم را

پوشش می‌دهند. تغییر رنگ TNT و R-TNT از خاکستری تیره به سیاه قابل مشاهده است که مربوط به حضور Ti^{3+} و افزایش چگالی عیوب در حین احیا می‌باشد.

در شکل ۷ ولتاگرام چرخه‌ای TNT و R-TNT در پیکربندی ۳ الکترودی را با نرخ اسکن 200 mVs^{-1} نشان داده است. برخلاف نمونه‌های TNT، R-TNT منحنی‌های مشخصه‌ی خازنی آشکاری بدون پیک را از خود نشان می‌دهند که به واکنش احیا مربوط می‌شود. افزایش چشمگیر در ولتاگرام چرخه‌ای برای نمونه‌ی R-TNT، تقریباً ۳ مرتبه بزرگتر از نمونه‌ی TNT است که منجر به بهبود عملکرد خازنی در آن می‌شود. هم‌چنین شکل تقریباً مستطیلی نمودار ولتاگرام چرخه‌ای نمونه‌ی R-TNT، برای یک خازن ایده آل، قابل انتظار است. داده‌ها نشان می‌دهند که نمونه‌ی R-TNT، به ظرفیت ویژه‌ی $2/81 \text{ mFcm}^{-2}$ با نرخ اسکن 200 mVs^{-1} دست یافته است که ۱۸ مرتبه بزرگتر از نمونه‌ی اصلاح نشده است ($0/16 \text{ mFcm}^{-2}$). این ارتقا به بهبود رسانایی الکتریکی نمونه‌ها مربوط می‌شود که منجر به افزایش چگالی بار می‌شود.



شکل ۶- تصویر FESEM با آرایه‌های منظم (الف) TNT (ب) R-TNT و (ج) سطح جانبی TNT [۱۹]



شکل ۷- ولتاگرام چرخه‌ای TNT و R-TNT، در نرخ اسکن 200 mV [۱۹]

۵- نتیجه گیری

- TNT ها به علت ولتاژ کاری بالا، رفتار شبه خازنی خوب و رسانایی الکترونیکی بالا، از بهترین‌ها برای مواد شبه خازنی، محسوب می‌شود. هم چنین زیست سازگاری، سمی نبودن برای محیط و انسان، پایداری شیمیایی بالا و فراوانی زیاد، موجب کاربرد زیاد این ماده به عنوان الکتروود سوپر خازن‌ها شده است.
- اکسیدان آندی نسبت به سایر روش‌های سنتز TNT، کنترل بهتری را بر روی مورفولوژی و ابعاد نانولوله‌های دارد. علی‌رغم ساختار مورفولوژیکی عالی و سطح، TNT های سنتز شده، دارای ظرفیت بسیار اندک هستند. اکثراً ظرفیت ویژه‌ی آن‌ها کمتر از 1 mF cm^{-2} گزارش شده است که از این جهت کاربردشان محدود می‌گردد.
- در اصلاح TNT به روش الکتروشیمیایی، با وجود افزایش اندک ابعاد نانولوله‌ها، تغییری در ساختار رخ نمی‌دهد ولی ظرفیت ویژه در برخی مواقع تا ۱۳ مرتبه افزایش می‌یابد.

- در اصلاح حرارتی نیز افزایش چشمگیری در منحنی ولتاگرام چرخه‌ای دیده می‌شود و گزارش شده که ظرفیت ویژه تا $911 \mu\text{F cm}^{-2}$ افزایش می‌یابد.

مراجع

- [1] Tyagi A, Singh N, Sharma Y, Gupta RK. Improved supercapacitive performance in electrospun TiO₂ nanofibers through Ta-doping for electrochemical capacitor applications. *Catalysis Today*. 2018 Jun 18.
- [2] Samsudin, N. A., Zainal, Z., Lim, H. N., Sulaiman, Y., & Chang, S. K. (2016). Titania nanotubes synthesised via the electrochemical anodisation method: Synthesis and supercapacitor applications. *Pertanika Journal of Scholarly Research Reviews*, (2016) 2(1): 107-128
- [3] Long, J. W., Bélanger, D., Brousse, T., Sugimoto, W., Sassini, M. B., & Crosnier, O. (2011). Asymmetric electrochemical capacitors—Stretching the limits of aqueous electrolytes. *Mrs Bulletin*, 36(7), 513-522.
- [4] Li, C., Wang, Z., Li, S., Cheng, J., Zhang, Y., Zhou, J., ... & Wang, B. (2018). Interfacial Engineered Polyaniline/Sulfur-Doped TiO₂ Nanotube Arrays for Ultralong Cycle Lifetime Fiber-Shaped, Solid-State Supercapacitors. *ACS applied materials & interfaces*, 10(21), 18390-18399.
- [5] Endut, Z., Hamdi, M., & Basirun, W. J. (2013). Optimization and functionalization of anodized titania nanotubes for redox supercapacitor. *Thin Solid Films*, 549, 306-312.
- [6] Endut, Z., Hamdi, M., & Basirun, W. J. (2013). Supercapacitance of bamboo-type anodic titania nanotube arrays. *Surface and Coatings Technology*, 215, 75-78.
- [7] Wu, H., Xu, C., Xu, J., Lu, L., Fan, Z., Chen, X., ... & Li, D. (2013). Enhanced supercapacitance in anodic TiO₂ nanotube films by hydrogen plasma treatment. *Nanotechnology*, 24(45), 455401.
- [8] Salari, M., Aboutalebi, S. H., Chidembo, A. T., Konstantinov, K., & Liu, H. K. (2014). Surface engineering of self-assembled TiO₂ nanotube arrays: A practical route towards energy storage applications. *Journal of Alloys and Compounds*, 586, 197-201.
- [9] Salari, M., Aboutalebi, S. H., Konstantinov, K., & Liu, H. K. (2011). A highly ordered titania nanotube array as a supercapacitor electrode. *Physical Chemistry Chemical Physics*, 13(11), 5038-5041.
- [10] Wu, H., Li, D., Zhu, X., Yang, C., Liu, D., Chen, X., ... & Lu, L. (2014). High-performance and renewable supercapacitors based on TiO₂ nanotube array electrodes treated by an electrochemical doping approach. *Electrochimica Acta*, 116, 129-136.
- [11] Kuang, Q., Lin, Z. W., Lian, W., Jiang, Z. Y., Xie, Z. X., Huang, R. B., & Zheng, L. S. (2007). Syntheses of rare-earth metal oxide nanotubes by the sol-gel method assisted with porous anodic aluminum oxide templates. *Journal of Solid State Chemistry*, 180(4), 1236-1242.
- [12] Zlamal, M., Macak, J. M., Schmuki, P., & Krýsa, J. (2007). Electrochemically assisted photocatalysis on self-organized TiO₂ nanotubes. *Electrochemistry Communications*, 9(12), 2822-2826.
- [13] Yu, Z., Tetard, L., Zhai, L., & Thomas, J. (2015). Supercapacitor electrode materials: nanostructures from 0 to 3 dimensions. *Energy & Environmental Science*, 8(3), 702-730.
- [14] Conway, B. E., & Pell, W. G. (2003). Double-layer and pseudocapacitance types of electrochemical capacitors and their applications to the development of hybrid devices. *Journal of Solid State Electrochemistry*, 7(9), 637-644.
- [15] Salari, M., Aboutalebi, S. H., Chidembo, A. T., Nevirkovets, I. P., Konstantinov, K., & Liu, H. K. (2012). Enhancement of the electrochemical capacitance of TiO₂ nanotube arrays through controlled phase transformation of anatase to rutile. *Physical Chemistry Chemical Physics*, 14(14), 4770-4779.
- [16] Raj, C. C., Sundheep, R., & Prasanth, R. (2015). Enhancement of electrochemical capacitance by tailoring the geometry of TiO₂ nanotube electrodes. *Electrochimica Acta*, 176, 1214-1220.
- [17] Xiao, P., Liu, D., Garcia, B. B., Sepehri, S., Zhang, Y., & Cao, G. (2008). Electrochemical and photoelectrical properties of titania nanotube arrays annealed in different gases. *Sensors and Actuators B: Chemical*, 134(2), 367-372.
- [18] Salari, M., Konstantinov, K., & Liu, H. K. (2011). Enhancement of the capacitance in TiO₂ nanotubes through controlled introduction of oxygen vacancies. *Journal of Materials Chemistry*, 21(13), 5128-5133.
- [19] Samsudin, N. A., Zainal, Z., Lim, H. N., Sulaiman, Y., Chang, S. K., Lim, Y. C., ... & Nadrah, W. (2018). Enhancement of Capacitive Performance in Titania Nanotubes Modified by an Electrochemical Reduction Method. *Journal of Nanomaterials Volume 2018, Article ID 9509126*, 9 page